

$$v_x = \frac{2\sigma}{\pi E} \int_{-a}^a \xi \log |x-\xi| d\xi = \frac{a\sigma}{\pi E}$$

$$\left[ (1-k^2) \log \frac{1-k}{1+k} - 2k \right], \quad (k = \frac{x}{a})$$

で與えられる。但し問題は平面應力の状態と考えられるものとした。この變形による鉢の迴轉角は變形面の平均傾斜角すなわち  $x=0$  における切線角とを考えることができるから

$$\theta_s = \left( \frac{dv}{dx} \right)_{x=0} = -\frac{4}{\pi E} \sigma$$

となる。又支壓板が  $M$  によつて楔状に變形することによつて可

能となる鉢の迴轉角は、支壓板の弾性係数を  $E_p$ 、厚さを  $t$  とすれば、 $\theta_p = t\sigma/aE_p$  となるから、図-1の如き鉢において上下の物體の弾性係数を  $E_1$ 、 $E_2$  とすれば、この鉢に曲げモーメント  $M$  が作用したときの迴轉角は

$$\theta = \theta_{s1} + \theta_{s2} + \theta_p = \left( \frac{4}{\pi E_1} + \frac{4}{\pi E_2} + \frac{t}{aE_p} \right) \sigma = \left( \frac{4}{\pi E_1} + \frac{4}{\pi E_2} + \frac{t}{aE_p} \right) \frac{3M}{2a^2 l}$$

となる。 $l$  は鉢の奥行である。又図-3 のようなコンクリートロツカーレベルに水平力  $H$  が働いたときのロツカーレベルの迴轉角  $\theta$  又は水平移動量  $\delta$  は上と同様にして求められるが、この場合はロツカーレベル自身の剪断歪みによる迴轉も考えて

$$\delta = \theta h = \left( \frac{48}{\pi E} \frac{d}{a_0^2 l} + \frac{12td}{E_p a_0^3 l} + \frac{1}{Gbl} \right) Hh$$

となる。但し上式は上下の物體及びロツカーレベルは同一材料とし  $G$  はその剛性係数である。図-4 及び図-5 は著者の行つた実験の観測値を示すが、よく計算値と合致していることを示すものである。

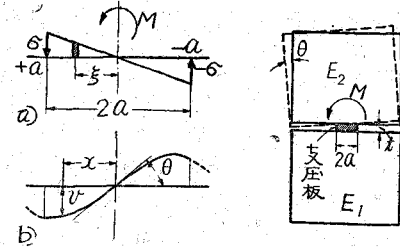


図-1

図-2

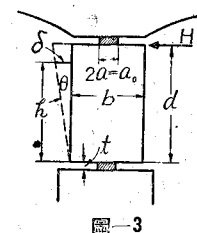


図-3

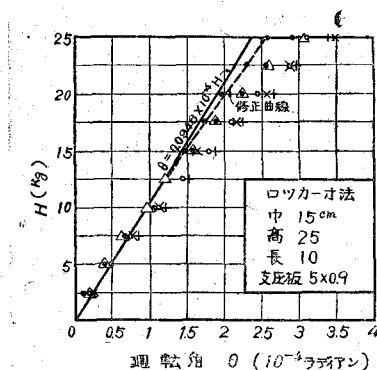


図-4 コンクリートロツカーレベル試験

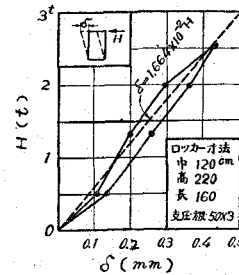


図-5 河西橋におけるコンクリートロツカーレベル移動試験結果

#### 49. アーチダムの一研究 (20分)

正員 電力研究所 堀 谷 正 道

1. 序説 アーチダムの水平斷面を形成するアーチは構造上最も重要な要素である。アーチダムは荷重の大部分をこのアーチが分擔するけれども、鉛直断面の片持梁としての抵抗は小さいから、片持梁の引張應力によつて水平クラックを発生する懸念のあることが普通であり、この場合、アーチの分擔荷重は最初の荷重試算によつて得られる分割量より大きくなる。アーチダムの実施設計に當つては、若干のアーチについてその位置の全荷重を外力として應力計算を行い、安定性を調べる手段がよくとられる。この場合における2次元アーチの解を平面歪状態として、彈性學的取扱いにより求め、安定性を一層厳密に調べることとした。最近ではアーチダムの應力解析をアーチの抵抗だけで行つて實用化した例も現れてきている。

2. 弾性理論 アーチは圓形等厚とし、岩盤接觸面は理論上半径方向とする。極座標  $r, \varphi$  における應力函数の一般形は對稱軸を原線にとると：

$$F = a_0 \log r + b_0 r^2 + c_0 r^2 \log r + (a_1 r^3 + b_1 r^{-1} + c_1 r \log r) \cos \varphi \\ + \sum_{n=2}^{\infty} (\text{...} a_n r^n + b_n r^{n+2} + c_n r^{-n} + d_n r^{-n+2}) \cos n\varphi \quad \dots \dots \dots \quad (1)$$

この応力函数から得られる応力3成分の式も同様に第1項は  $\varphi$  に無関係な項、第2項は  $\cos \varphi$  (又は  $\sin \varphi$ ) を含む項、第3項は  $\cos n\varphi$  (又は  $\sin n\varphi$ ) を含む一般項からなる。

上下流面における條件は次のようである。

$$\begin{aligned} (\sigma\varphi)_{r=r_2} &= -\dot{p}, & (\tau\varphi)_{r=r_2} &= 0 \\ (\sigma\varphi)_{r=r_1} &= 0, & (\tau\varphi)_{r=r_1} &= 0 \end{aligned} \quad \dots \quad (2)$$

但し、 $r_2$ ,  $r_1$ はそれぞれ上下流面半径であり、 $\gamma$ は等分布荷重である。

式(2)の条件を式(1)に適用して未定係数の関係を求める場合に、第1, 2項はそれぞれ未定係数が1つずつ残るけれども、 $\cos n\varphi$ （又は $\sin n\varphi$ ）の項はすべて0になってしまふ。両端における岩盤の境界条件を満足させるためには $\cos n\varphi$ （又は $\sin n\varphi$ ）の項を生かしたい。そこで、 $n$ も未定係数であるとみなすこととすれば式(2)を満足するような $n$ の値を求ることにより、所期の目的を達することができる。このような $n$ の条件式は次のようになる。

式(3)を満足する  $n$  の値は一般に複素数である。これから得られるアーチ端の応力成分  $\sigma_\varphi$ ,  $\tau_{r\varphi}$  は次のような形をとる。

$$\left. \begin{aligned} (\sigma\varphi)_{\varphi=\alpha} &= Af_1(r) + Bf_2(r)\cos x + \sum_{m=1}^{\infty} C_{m1}f_3(r) + \sum_{m=2}^{\infty} C_{m2}f_4(r) \\ (\tau r\varphi)_{\varphi=\alpha} &= Bg_2(r)\sin x + \sum_{m=1}^{\infty} C_{m1}g_3(r) + \sum_{m=2}^{\infty} C_{m2}g_4(r) \end{aligned} \right\} \quad \dots \quad (4)$$

$f_i(r)$ ,  $g_i(r)$  等は  $r$  の函数であり,  $A$ ,  $B$ ,  $C_{m1}$ ,  $C_{m2}$  等は未定係数である.  $C_{m1}$ ,  $C_{m2}$  は  $\cos n\varphi$  (又は  $\sin n\varphi$ ) の項の實部, 虛部を分離して得られる 2 組の項の未定係数である.

岩盤面を半無限弾性體とみなして、この表面に式(4)で表わされる應力成分が作用するときの岩盤面の變位成分とアーチ端における變位成分が接觸面上において等しくなるように、級數式(4)の未定係數  $A$ ,  $B$ ,  $C$  等を決定することは可能である。本研究はこのようにして得られる解を求め、某地點に設計したアーチダムに適用して應力状態を調べたものである。

## 50. 地震時動水圧に関する模型実験 (20分)

# 正員 東京電力株式會社 煙野 正

水槽の1つの鉛直壁を左右動させ、これによつて生ずる動水壓と水面に生ずる波形を観測し、著者の理論と照合したものである。

## 51. 揚壓力に關する研究 (20分)

准昌 京都大學工學部 丹 羽 義 次

揚圧力が堰堤の安定に悪影響を及ぼすことは周知のことである。それゆえこれに作用する揚圧力を適確に究明して、その設計の合理化を計らねばならず、既に幾多の理論計算、模型実験、實測が行われてきた。しかしながら揚圧力の本質についてはいまだ決定的な結論が得られていないようであり、今後の詳細な研究にまたねばならない。本研究においては揚圧力が堤底にのみ作用し、その全面積にわたり作用するものと假定している。

1. 理論的考察 堤堰基礎が均一な透水係数を有する場合について既に多數の研究者が數學的解析を行つてい